

УДК 629.114.07

САМОРОДОВ В.Б., д.т.н., проф., НТУ «ХПИ»
МАНДРЫКА В.Р., к.т.н., доц., НТУ «ХПИ»
ОСТРОВЕРХ А.О., асп., НТУ «ХПИ»

МАТЕМАТИЧЕСКАЯ МОДЕЛЬ ТРАНСМИССИИ АВТОМОБИЛЯ, ОБОРУДОВАННОГО ДЛЯ РЕМОНТА НЕФТЯНЫХ И ГАЗОВЫХ СКВАЖИН

Розроблена математична модель із урахуванням параметрів силової установки, запропонованої двох потокової трансмісії, що використовується як при підйомі, так і під час спуску колони труб, дозволяє проводити дослідження з визначення динамічної завантаженості трансмісії, як для базової, так і модернізованої машини.



Рисунок 1 –
Установка
подъемная
автомобильная
УПА-80ПХ

Введение. Необходимость модернизации мобильного парка оборудования для ремонта нефтяных и газовых скважин диктуется постоянным увеличением их глубины залегания и соответственно весом поднимаемых и опускаемых для ремонта труб. Кризисные явления в экономике предполагают выполнение данных работ с минимальными затратами. На Харьковском заводе транспортного оборудования (ХЗТО) на полноприводном (6x6) шасси автомобиля КрАЗ-63221-02 выпускается установка подъемная автомобильная УПА-80ПХ предназначенная для освоения и ремонта нефтяных и газовых скважин, ведения буровых работ забойными двигателями или роторным способом, которая представлена на рисунке 1. Установка позволяет осуществлять подъем и опускание колонны из труб весом 80 тонн.

В соответствии с техническим заданием необходимо увеличить возможность подъема и опускания колонны из труб до 100 тонн при минимальном изменении характеристик существующей трансмиссии и двигателя базового автомобиля. Поэтому выбор типа трансмиссии, которая наилучшим образом удовлетворяет представленным требованиям, и обеспечение ее долговечности являются актуальной задачей.

Анализ последних достижений и публикаций.

Одной из характеристик, оценивающих долговечность системы, является динамическая нагруженность трансмиссии. К числу основных режимов следует отнести трогание с места и подъем колонны из труб. Для механических трансмиссий методика решения данных задач является известной [1].

Процесс опускания осуществляется под действием собственного веса. Ленточный тормоз, который удерживает колонну в процессе сборки труб и в дальнейшем при ее опускании в скважину с определенной скоростью, пробуксовывает и перегревается. Это требует дополнительных временных затрат на остывание тормозной системы и приводит к повышенному износу тормозных накладок.

Применение дополнительных тормозных систем в базовой конструкции не предусмотрено, однако известны конструкции, которые предполагают установку гидродинамических передач в качестве основного тормоза, а ленточный тормоз использовать как дополнительный. Исследования по использованию гидрообъемных передач в трансмиссиях автомобильных установок для подъема и опускания колонны труб приведены не в полном объеме.

Цель и постановка задачи. Целью исследования является определение динамической нагруженности модернизированной трансмиссии в процессе подъема и торможения колонны труб. В качестве объекта исследования рассматривается разработанная на кафедре «Автомобіле- і тракторостроєння» НТУ «ХПІ» модернизированная схема трансмиссии. Она представляет собой модернизированную базовую трансмиссию с дополнением объемного гидропривода (ОГП), который предполагается использовать как при подъеме, так и в процессе торможения.

Теоретические исследования. Эквивалентная схема для общего случая движения представляет собой разветвленную многомассовую динамическую систему. Однако динамика подъема и опускания колонны труб существенно отличаются друг от друга. Поэтому рассмотрим их отдельно. На рисунках 2 и 3 представлена динамическая система, обеспечивающая подъем колонны и ее опускание соответственно, которая составлена с учетом демпфирующих свойств валопровода трансмиссии.

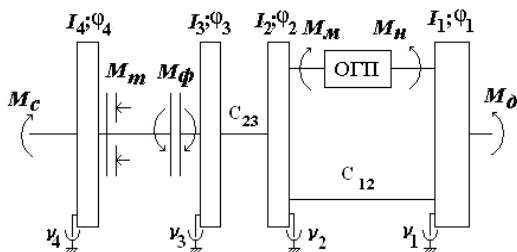


Рисунок 2 - Динамическая модель модернизированной трансмиссии (режим подъема)

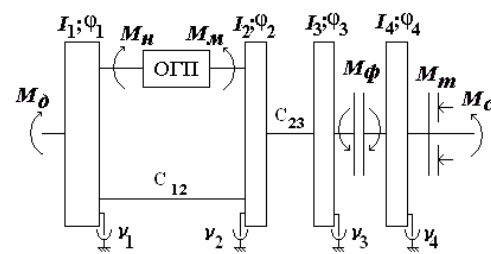


Рисунок 3 - Динамическая модель модернизированной трансмиссии (режим опускання)

Обозначим инерционные массы и коэффициенты демпфирования через I_i, v_i , где $i=1..4$. В этом случае моменты инерции вращающихся масс и коэффициенты демпфирования, приведенные к валу двигателя, соответствуют таким значениям: I_1, v_1 - двигателю, части трансмиссии и насосу ОГП; I_2, v_2 - гидромотору ОГП и планетарному редуктору; I_3, v_3 - коническому редуктору, цепной передаче в масле и ведущим частям фрикционной муфты включения нарезного барабана лебедки; I_4, v_4 - ведомым частям фрикционной муфты и нарезному барабану лебедки с винтовым ограничителем подъема крюкоблока и талевой системы, приведенным моментам инерции и коэффициентам демпфирования поступательно движущихся масс поднимаемой и опускаемой колонны труб; c_{12}, c_{23} - приведенные значения жесткости соответствующих участков валопровода.

Углы закрутки соответствующих масс обозначим через φ_i , где $i = 1\dots 4$. Значения моментов инерции, жесткости и коэффициентов демпфирования получены расчетным путем или экспериментально, а также заимствованы из литературы. В качестве обобщенных координат принято положение рейки топливного насоса, углы закрутки соответствующих масс расчетной схемы и их скорости вращения, разность давлений в напорной и сливной магистралях ОГП и величина параметра регулирования, скорость подъема и опускания колонны труб.

Составление математической модели (ММ) для исследования процесса подъема колонны труб будем выполнять с использованием принципа Даламбера. На расчетной схеме введены следующие обозначения: M_h, M_m - приведенные значения крутящих моментов, развивающихся насосом и гидромотором ОГП; M_ϕ - приведенный момент сцепления фрикционной муфты включения нарезного барабана; M_c - приведенный момент сопротивления перемещению колонны труб; M_m - приведенный момент сцепления ленточного тормоза; M_δ - крутящий момент, развиваемый на коленчатом валу двигателя.

Дифференциальные уравнения, описывающие динамику модернизированной трансмиссии в режиме подъема, имеют вид:

$$\begin{aligned} I_1 \ddot{\varphi}_1 + \nu_1 \dot{\varphi}_1 &= M_\delta - (M_h + c_{12}(\varphi_1 - \varphi_2)); \\ I_2 \ddot{\varphi}_2 + \nu_2 \dot{\varphi}_2 &= M_m + c_{12}(\varphi_1 - \varphi_2) - c_{23}(\varphi_2 - \varphi_3); \\ I_3 \ddot{\varphi}_3 + \nu_3 \dot{\varphi}_3 &= c_{23}(\varphi_2 - \varphi_3) - M_\phi; \\ I_4 \ddot{\varphi}_4 + \nu_4 \dot{\varphi}_4 &= M_\phi - (M_c + M_m) \end{aligned} \quad (1).$$

Дифференциальные уравнения, описывающие динамику модернизированной трансмиссии в режиме опускания, имеют вид:

$$\begin{aligned} I_4 \ddot{\varphi}_4 + \nu_4 \dot{\varphi}_4 &= M_c - (M_m + M_\phi); \\ I_3 \ddot{\varphi}_3 + \nu_3 \dot{\varphi}_3 &= (M_m + M_\phi) - c_{23}(\varphi_2 - \varphi_3); \\ I_2 \ddot{\varphi}_2 + \nu_2 \dot{\varphi}_2 &= c_{23}(\varphi_2 - \varphi_3) - (M_m + c_{12}(\varphi_1 - \varphi_2)); \\ I_1 \ddot{\varphi}_1 + \nu_1 \dot{\varphi}_1 &= (M_h + c_{12}) - M_\delta \end{aligned} \quad (2).$$

Динамическая модель, представленная на рисунке 4, описывающая динамику трансмиссии серийной машины в режиме опускания, и ее математическое описание имеет вид:

$$I_4 \ddot{\varphi}_4 + \nu_4 \dot{\varphi}_4 = M_c - M_m \quad (3).$$

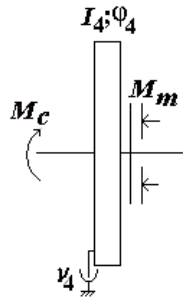


Рисунок 4 - Динамическая модель серийной трансмиссии (режим опускания)

ММ двигателя может быть представлена в виде зависимости крутящего момента от скорости вращения коленчатого вала и положения рейки топливного насоса. Принимаем, что динамические характеристики центробежного регулятора топливных насосов для двигателей СМД-60 и ЯМЗ-238Д являются подобными. Это дает возможность использовать отдельные выражения из [1] для составления ММ двигателя, которая имеет вид:

$$\begin{aligned}
 M_\phi &= A + B\dot{\phi}_1 + Ch_\phi + Dh_\phi^2; \\
 \nu_p \dot{z} + E_{p(\kappa)} &= A_{\dot{\phi}_1} \cdot \dot{\phi}_1^2; \\
 z &= h_{\phi \max} - h_\phi; \\
 E_p &= 5,6 - 1727 \cdot X_p - 6,2635 \cdot h_\phi + 1826 \cdot X_p \cdot h_\phi + 267 \cdot X_p^2 - 15030 \cdot X_p^2 \cdot h_\phi; \\
 E_\kappa &= 13,4 - 33,55 \cdot h_\phi; \\
 A_{\dot{\phi}_1} &= 10,15 \cdot 10^{-5} - 0,62 \cdot 10^{-4} \cdot h_\phi; \\
 \nu_p &= 2,343 - 0,00154 \cdot \dot{\phi}_1 - 1,91 \cdot 10^{-5} \cdot \dot{\phi}_1^2
 \end{aligned} \tag{4},$$

где: A, B, C, D - коэффициенты аппроксимации;

h_ϕ - положение рейки топливного насоса;

E_p, E_κ - сила пружин регулятора, определяющая его работу на регуляторной или корректорной ветви внешней характеристики;

X_p - положение рычага настройки регулятора топливного насоса.

ММ ОГП составлена в соответствии с методикой [2].

$$\begin{aligned}
 \dot{p} + k_w L \cdot p &= k_w \cdot W \cdot (e_n \dot{\phi}_1 - \dot{\phi}_2); \\
 k_w &= \frac{\chi_0 + k_{\chi_1} p + k_{\chi_2} p^2}{V_0 + k_{v_1} p + k_{v_2} p^2}; \\
 M_n &= \frac{e_n \cdot W \cdot p}{\eta_{cn}}; \\
 M_m &= W \cdot p \cdot \eta_{cm}
 \end{aligned} \tag{5},$$

где: L - коэффициент, учитывающий расход утечек жидкости при работе ОГП;

k_w - коэффициент, учитывающий расход на сжатие жидкости при работе ОГП;

$k_{\chi 1}, k_{\chi 2}, k_{v1}, k_{v2}$ - коэффициенты аппроксимации;

V_0 - объём рабочей жидкости в рабочей магистрали;

χ_0 - модуль объёмной упругости рабочей жидкости;

W - характерный объем гидромашины;

p - разность давлений в напорной и сливной магистралях ОГП;

e_h - параметр регулирования насоса;

$e_m = 1$ - параметр регулирования гидромотора при постоянном максимальном угле наклона упорно-распределительного диска.

Значения кинематических и силовых КПД для гидромашин типа «Зауэр» [3] приведены в виде функциональных зависимостей во времени между значениями КПД и переменными, характеризующими режим работы ОГП: разности давлений; угловых скоростей вращения валов насоса и гидромотора; параметра регулирования насоса.

$\eta_{ch} = 1 - A_h(t)$ - кинематический КПД насоса;

$\eta_{cm} = \frac{1}{1 + A_m(t)}$ - кинематический КПД гидромотора;

$\eta_{ch} = \frac{1}{1 + B_h(t)}$ - силовой КПД насоса;

$\eta_{cm} = 1 - B_m(t)$ - силовой КПД гидромотора.

Известны [4] характерные участки работы муфты трения при ее включении: начало работы ведущего диска, начало работы ведомого диска и процесс буксования, замыкание муфты и совместный разгон ведущих и ведомых частей муфты, определяемый начальными условиями и величиной нагрузки. В исследуемом объекте время включение муфты является постоянной величиной, определяемой параметрами (настройками) пневматического привода. Длительность включения муфты не превышает 1с.

Величину M_ϕ принимаем в функции от времени включения, в предположении, что величина коэффициента запаса муфты известна и составляет $\beta = 1,5$.

$$M_\phi = \begin{cases} M_{\phi_{max}} = k_1 \cdot t, & \text{при } 0 < t < 0,5; \\ \left[\exp\left(-\frac{t}{k_t}\right) \right] \cdot M_{\phi_{max}}, & \text{при } 0,5 < t < 1; \\ M_{\phi_{ust}}, & \text{при } t > 1 \end{cases} \quad (6),$$

где: k_1, k_t - коэффициенты аппроксимации, полученные при построении зависимости $M_\phi = f(t)$, на основании экспериментальных исследований; $M_{\phi_{ust}}$ - установившееся значение крутящего момента на фрикционной муфте, определяемое величиной нагрузки (весом поднимаемой колонны труб, которая со временем уменьшается из-за величины демонтируемых участков).

Значення M_m для ленточного тормоза подбираються з умови, що буде остановлена піднита колонна труб вагою в 100 т. Так як в режимі піднімання труби момент M_m не приймає участі, т.е. $M_m=0$ до тих пір, поки піднита зі скважини колонна труб не потребує остановки для демонтажа однієї або двох труб. На базовій трансмісії ленточні тормоза застосовуються для остановки колонни труби при її спуску в скважину.

Поэтому для работы применен простой ленточный тормоз с одним закрепленным концом, математическая модель которого имеет вид [5]:

$$M_m = P \frac{l}{d} (e^{\mu\alpha} - 1) R \quad (7),$$

где: P - усилие на рычаге; R - радиус тормозного барабана;

$\frac{l}{d}$ - конструктивные параметры, определяющие длину тормозного рычага и расстояние от концов ленты до шарнира рычага.

μ - коэффициент трения между поверхностью тормозного барабана и фрикционными накладками тормозной ленты;

α – угол охвата барабана тормозной лентой.

Из анализа характеристик зависимости (7) следует, что параметры R , l , d , α принимаются постоянными, закон изменения величины P определяется величиной загрузки системы и носит случайный характер. Первоначально принимаем $P=const$. Величина μ зависит от скорости скольжения, величины удельного давления тормозных накладок на барабан и материала накладок. Известна зависимость [5] коэффициента трения μ от скорости скольжения чугуна СЧ 12-32 по стали при удельном давлении 0,2 МПа, полученная экспериментально, рисунок 5.

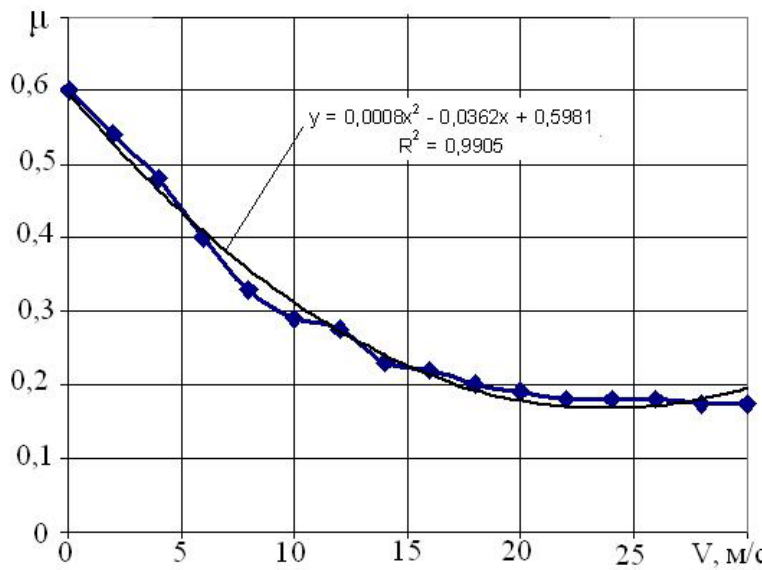


Рисунок 5 – Зависимость коэффициента трения μ от скорости скольжения V

После аппроксимации коэффициент трения μ в функции от скорости скольжения V имеет вид

$$\mu = 0,5981 + 0,0008V^2 - 0,0362V \quad (8).$$

Из анализа зависимости (8) следует, что наибольшее значение коэффициент трения имеет при скоростях скольжения близких к нулю.

Момент M_c принимаем в функции от скорости V_n подъема колонны труб. В первом приближении эта зависимость может быть принята линейной. Приведенная к валу тормозного барабана величина M_c имеет вид:

$$M_c = (M_{c0} + k_{co}V_n) \cdot i_m \quad (9),$$

где M_{c0} - момент сопротивления колонны при скорости подъема близкой к нулю;

$$M_{c0} = G_k \cdot R_{m\bar{o}};$$

G_k - вес поднимаемой колонны труб;

$R_{m\bar{o}}$ - радиус тормозного барабана;

k_{po} - коэффициент аппроксимации;

i_m - передаточное число тальблока.

После подстановки в (1-3) выражений (4-9) получим искомую математическую модель трансмиссии автомобиля для исследования динамики неустановившегося движения на основных режимах работы с колонной труб.

Выводы

Разработанная математическая модель с учетом параметров силовой установки, предлагаемой двухпоточной трансмиссией, используемой как при подъеме, так и опускании колонны труб, позволяет проводить исследования по определению динамической нагруженности трансмиссии, как для базовой, так и модернизированной машины.

Список литературы: 1. Коденко М.Н., Артюшенко А.Д., Мандрыка В.Р., Мироненко В.И. Системы автоматического управления режимами работы сельскохозяйственных тракторов / Под ред. Коденко М.Н. Х.: Выща шк. Изд-во при Харк. ун-те, 1988. 152 с. 2. Мандрыка В.Р. Математическая модель объемного гидропривода сельскохозяйственного трактора Х.: Вища шк. Изд-во при Харк. ун-те, 1985. №222. Конструирование и исследование тракторов. Вып. 6, с. 35-37. 3. Динамика транспортно-тяговых колесных и гусеничных машин / Александров Е.Е., Волонцевич Д.О., Карпенко В.А., Лебедев А.Т., Перегон В.А., Самородов В.Б., Туренко А.Н. – Харьков : Издательство ХГАДТУ (ХАДИ), 2001. – 642 с. 4. Сцепление транспортных и тяговых машин/И.Б. Барский, С.Г. Борисов, В.А. Галагин и др.; Под ред. Ф.Р. Геккера и др.- М.: Машиностроение, 1989.-344 с. 5. Носов Н.А., Галышев В.Д., Волков Ю.П., Харченко А.П. Расчет и конструирование гусеничных машин. Л.: Машиностроение, 1972,- 560 с.